

X線光電子分光を用いたITOと α -NPD間にMoO₃超薄膜を挿入することによる α -NPD、MoO₃界面の電子状態詳細解析
Detail analysis of electronic state for interface between ultra thin MoO₃ hole injection layer and alpha-NPD hole transport layer by hard X-ray photoelectron spectroscopy

塩沢一成^a, 石黒信行^a, 笹川知由^a, 松島敏則^b, 村田英幸^b, 町田雅武^c, 孫珍永^c
Kazunari Shiozawa^a, Tomoyoshi Sasakawa^a, Toshinori Matsushima^b, Hideyuki Murata^b,
Masatake Machida^c, Jin-Young Son^c

^a (株) 三井化学分析センター, ^b 北陸先端科学技術大学院大学マテリアルサイエンス研究科,

^c 高輝度光科学研究センター

^a mc-ANAC, ^b JAIST, ^c JASRI/SPring-8

有機EL素子の性能向上策として期待されている極薄の正孔注入層(MoO₃)ならびに正孔輸送層(α -NPD)に対するHX-XPS測定を試みた。その結果、 α -NPDのC1s結合エネルギーは、2008A1940と同様にMoO₃がその下層に存在することで低結合エネルギー側へのシフトが認められた。そのシフトは、膜厚に対して単調な変化ではなく、さらにTOAを変えて光電子の脱出深さを変化させたときにC1s結合エネルギーに対するMoO₃膜厚依存性が異なっていたことなどが新たな知見として得られた。

キーワード： 有機EL、正孔注入層、正孔輸送層、金属酸化物、HX-XPS、角度可変測定

1. はじめに

有機EL素子において、陽極と正孔輸送層間に金属酸化物層をもうけることで素子性能の向上、とりわけ正孔注入障壁の低下による駆動電圧の低減等がはかられていることが知られている。そのため、金属酸化物層は、正孔注入層と呼ばれることが多い。金属酸化物層の厚さを従来よりも大幅に薄くし、1 nm以下とすることで素子性能の更なる向上が達成できる可能性が示唆された[I]。そこで、正孔注入層の極薄化の効果を検証する目的で2008A1940にて予備的な光電子分光測定を実施した。その結果、 α -NPDを構成するC1sにおいて、結合エネルギーの微小なシフトが観測された。そこで、角度可変測定により結合エネルギーの微少シフトが α -NPD内の全深さで均一に生じているか否かを検証し、MoO₃層の厚さの違いが有機EL素子において、電荷移動にどのように影響を及ぼしているかを考察することを目指す。

2. 実験

試料は、Fig.1.1に示したとおり、150 nmのITO電極が付いたガラス基板にMoO₃を0.75 nm、1.0 nm、2.0 nm、蒸着し、さらに α -NPDを10 nm積層した構成である。また、MoO₃の挿入効果を検証するために、ITOと α -NPD間にMoO₃を挿入せずにITO上に α -NPDを直接積層した試料も準備した。測定は、BL46XUにおいて、入射光エネルギーは約8 keV(7942.3 eV)とした。入射光エネルギーは、Au4f_{7/2}結合エネルギーが84.0 eVとなる値として求めた。また、光電子の脱出深さを変えるため、取り出し角(take off angle(TOA))

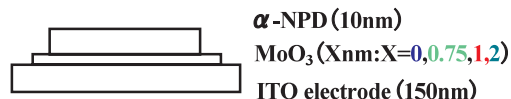
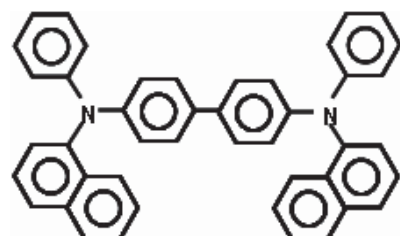


Fig.1.1 Layer structure of thin film sample



α -NPD:N,N'-Di(1-naphthyl)-N,N'-diphenylbenzidine, (C₄₄H₃₂N₂)

Fig.1.2 Molecular structure of α -NPD

は、90°、30°の2角度で測定した。測定したスペクトルは、C1s、N1s、O1s、In3d(In3d_{5/2})、Mo3dならびにValence帯である。データ処理は、フォーマットの変換をせずに直接読み込みが可能である汎用電子分光データ処理ソフト、SDP(Spectral Data Processor) v4.0(XPS International(<http://www.xpsdata.com/>))を用いた。

3. 結果

Fig.2.1、Fig.2.2は、それぞれ光電子の取り出し角(TOA)が90°、30°において、ITOとα-NPD間にMoO₃を挿入しなかった場合(MoO₃=0 nm,Blue Line)とMoO₃を0.75 nm(Green Line)、1.0 nm(Red Line)、2.0 nm(Deep green Line)の厚さで積層した場合についてC1sスペクトルを重ね書きした結果である。ここで、各試料間で測定回数が異なるため規格化した強度とした。ITO付きのガラス基板、その上にMoO₃のみを積層した試料についての測定結果では、C1sの強度は、Fig.2.1ならびにFig.2.2におけるそれより大幅に小さかったことからFig.2.1ならびにFig.2.2は、表面の付着物等ではなくα-NPDのスペクトルであると考えられる。ここで、光電子の取り出し角(TOA)を90°、30°とした場合それぞれでMoO₃の厚さの違いにより2008A1940を概ね再現するC1s結合エネルギーの微少シフトが観測された。C1sとともにα-NPDの構成元素であるN1sについても、同様な結合エネルギーのシフトが認められた。ただし、Fig.2.1ならびにFig.2.2に示したとおり、観測された結合エネルギーのシフトはMoO₃の厚さに対して減少傾向を示すが、必ずしも単調な変化ではなく、TOAが90°ではMoO₃の厚さが1 nmと2 nm、TOAが30°ではMoO₃の厚さが0.75 nmと1 nmの場合で概ね等しい結合エネルギー値であった。比較のためにFig.2.3、Fig.2.4として、それぞれTOAが90°、30°に対するIn3d_{5/2}スペクトルの重ね書き結果を示した。これらより、In3d_{5/2}の結合エネルギー値は、TOAの値、MoO₃の厚さにほとんど依存せず、各測定でほぼ一定の値を示した。ここで、結合エネルギー値のシフト量自体が小さいことから、その変化を比較し易くするために、Fig.3.1、Fig.3.2として、それぞれC1s、In3d_{5/2}に対する結合エネルギー値のMoO₃厚さ依存性をTOAが90°、30°の場合について重ね合わせて示した。Fig.3.1より、C1sでは先に述べたとおり、TOAを変えることで結合エネルギーのMoO₃厚さ依存性に違いが認められた。TOAを90°とし、光電子の脱出深さを可能な限り深くした場合、0 nmからMoO₃の厚さを増すと0.75 nm、1 nmの順でその上層にあるα-NPDを構成するC1sの結合エネルギーが減少し、2 nmでは1 nmの場合とほぼ等しくなる。それに対して、TOAが30°の場合は、MoO₃の厚さを0 nmから0.75 nmとするとC1sの結合エネルギーが減少するが、その厚さを1 nmまで増してもC1sの結合エネルギーに変化はなく、2 nmとすると再びC1s結合エネルギーの減少が認められる。また、MoO₃がない(0 nmの)場合と2 nmの場合は、TOAが90°、30°でC1s結合エネルギーがほぼ等しく、1 nmでTOAの違いによるC1s結合エネルギー差が最も拡がり、TOAが30°の方が0.1 eV強程度大きくなつた。一方、Fig.3.2より、MoO₃の下層にあるIn(In3d_{5/2})の結合エネルギーは、TOAが90°でMoO₃がない場合のみ、それ以外の場合よりもわずかながら小さい可能性もあるが、MoO₃の有無、その膜厚、TOAに関係なく、概ね同じ値を示し、In3d_{5/2}の結合エネルギーに対するMoO₃の膜厚依存性は、ほぼ無いか、あっても極めて小さいと考えられる。また、O1sの結合エネルギーに対するMoO₃膜厚、TOA依存性は、In3d_{5/2}のそれと同様であった。

以上より、α-NPDのC1s結合エネルギーは、2008A1940と同様にMoO₃がその下層に存在することで低結合エネルギー側へのシフトが認められた。本課題において、そのシフトは、膜厚に対して単調な変化ではなかったこと、光電子の脱出深さを変化させたときにC1s結合エネルギーに対するMoO₃膜厚依存性が異なっていたことなどが新たな知見として得られた。筆者は、有機物中の電荷移動等に関しては門外漢であり、測定結果の誤った解釈をしている可能性もあるので、今後は、専門家の意見を聴取しながら解析を深めたいと考えている。ただし、光電子分光測定等の内殻の電子状態評価のみでは、正孔移動に関する1 nm未満のMoO₃膜の特異性は説明困難と考えられ、MoO₃の厚さは、設定値としてどの厚さまでが島状付着で、どの厚さから均一膜となるか等のMoO₃膜の物理的な構造との複合効果である可能性等が想定される。したがって、さらに、MoO₃膜の物理的な構造評価等について追加の課題申請を検討したい。

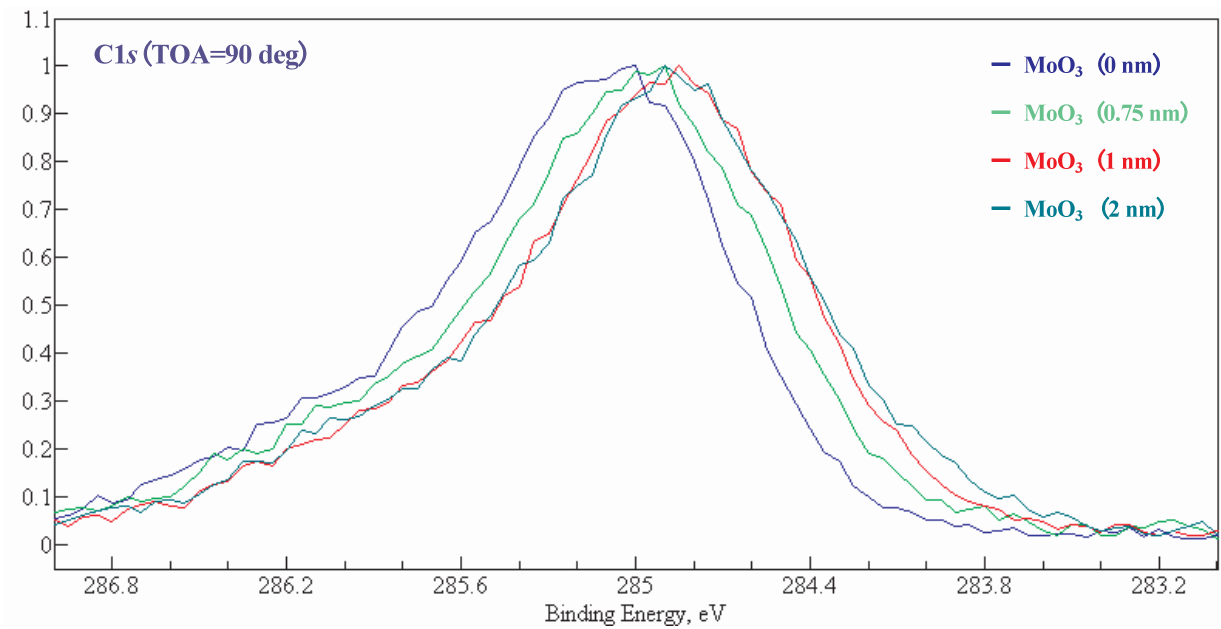


Fig.2.1 C1s overlay spectra at 90 degree take off angle for various thickness of MoO₃

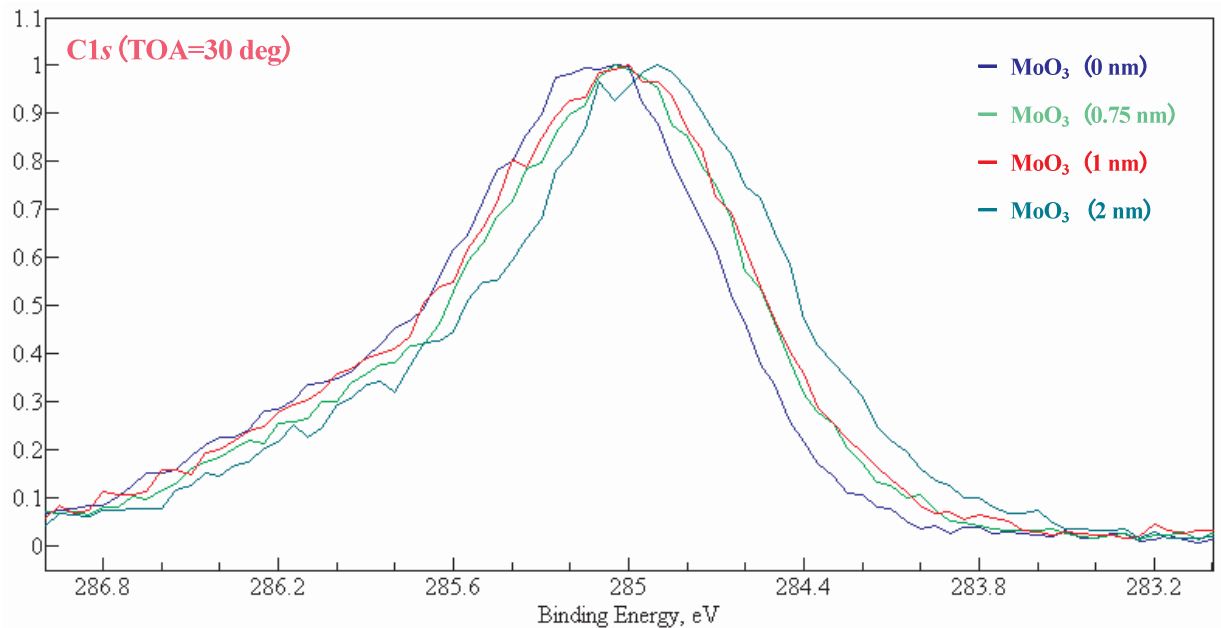


Fig.2.2 C1s overlay spectra at 30 degree take off angle for various thickness of MoO₃

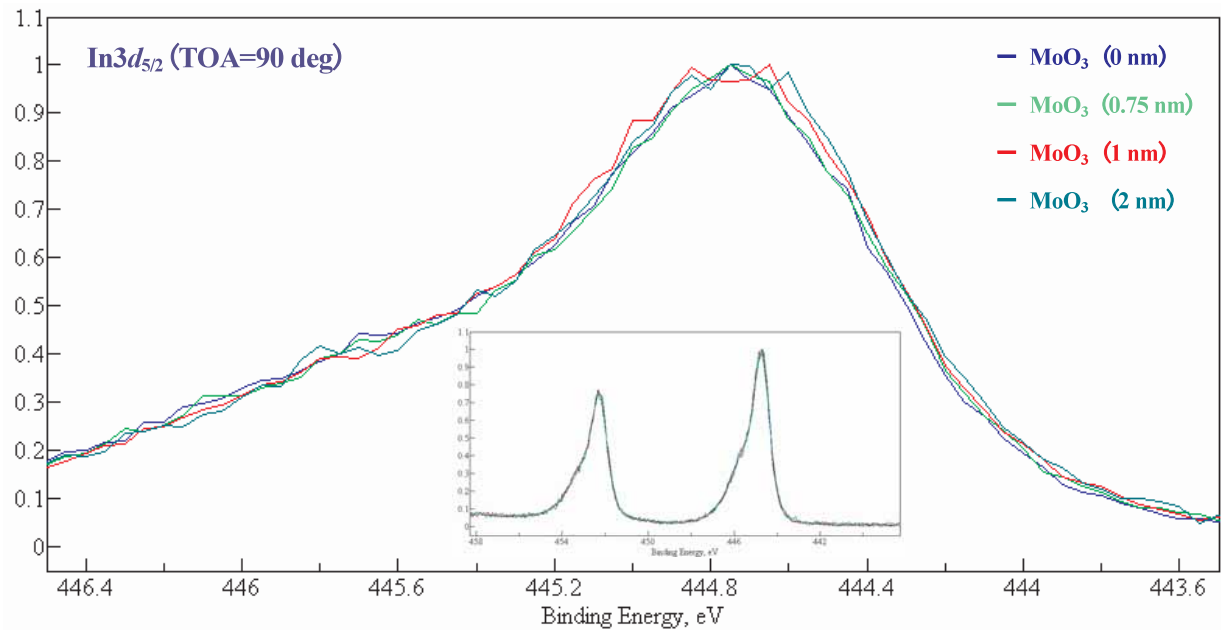


Fig.2.3 In $3d_{5/2}$ overlay spectra at 90 degree take off angle for various thickness of MoO_3

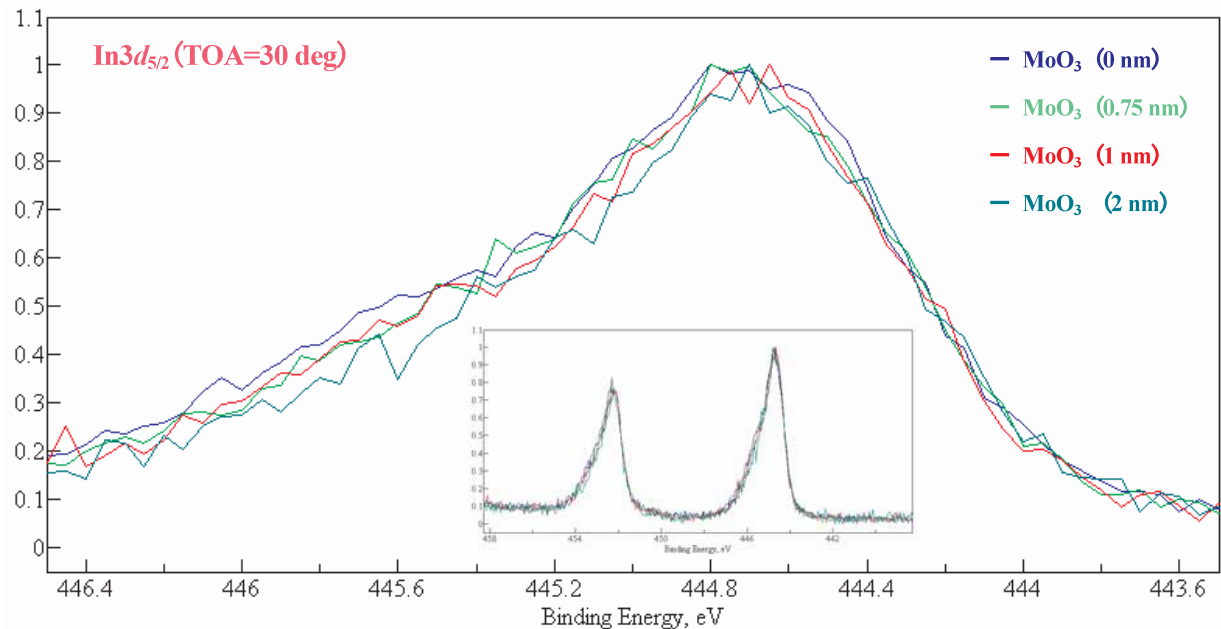


Fig.2.4 In $3d_{5/2}$ overlay spectra at 30degree take off angle for various thickness of MoO_3

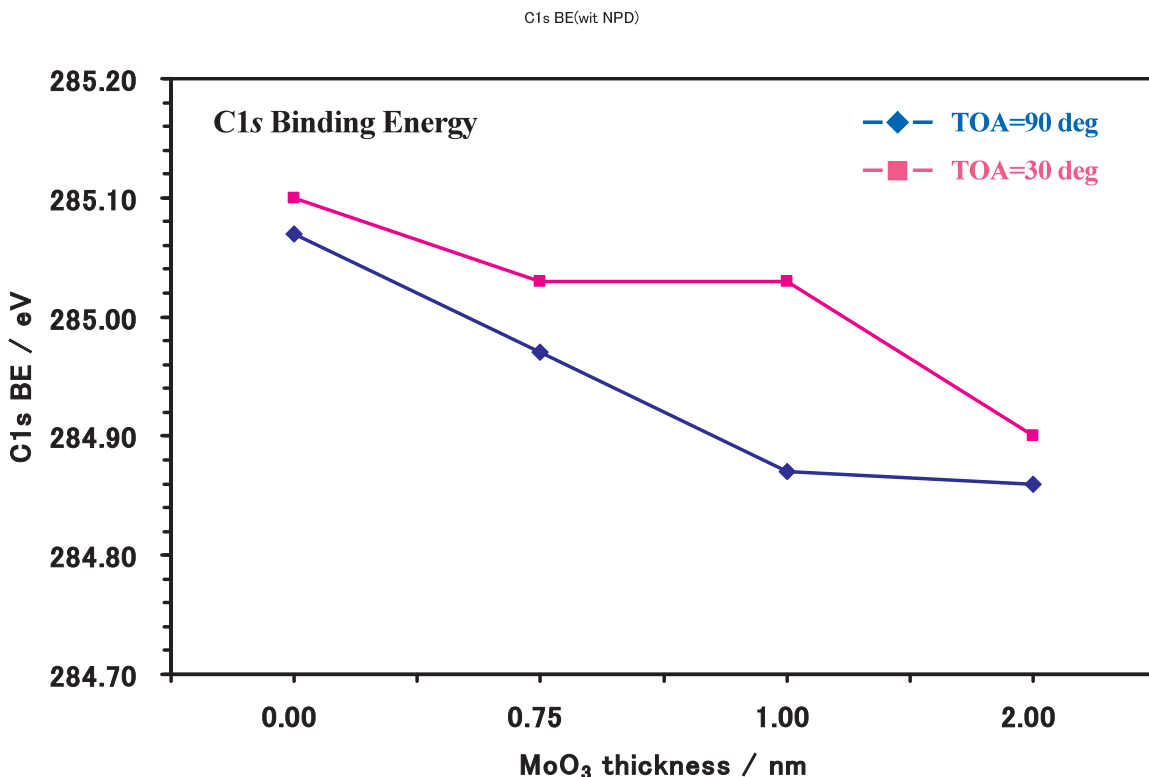


Fig.3.1 MoO₃ thickness dependence of C1s binding energy for 90 or 30 degree take off angle

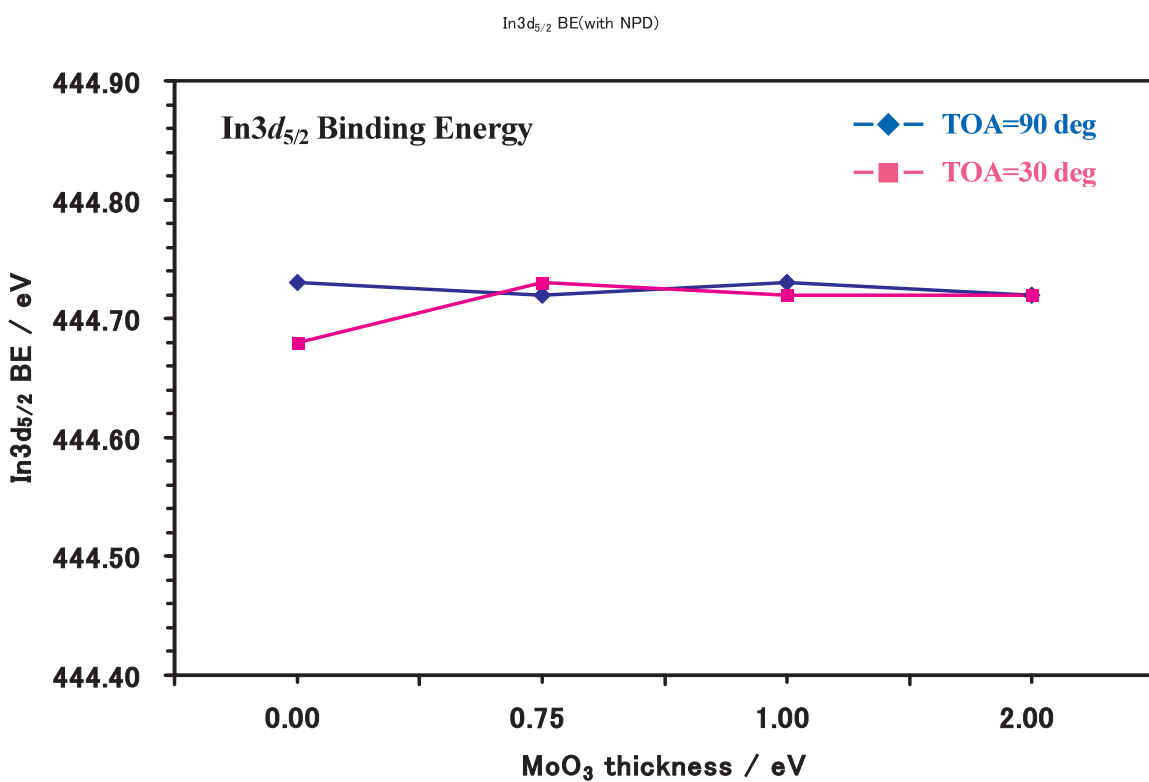


Fig.3.2 MoO₃ thickness dependence of In3d_{5/2} binding energy for 90 or 30 degree take off angle